

# スペース Z-バッファ：安定で高速な隠線・隠面消去 二次元スペースモデルの応用

大 沢 晃<sup>†</sup>

従来隠面消去方式としてはピクセル対応のZ-バッファ法が定着している。しかし、ピクセル単位のため面や辺の取扱いには適せず、ペンプロッタで線画が描けない、マウスによる图形ピックが困難等の問題があった。一方、ペンプロッタ用には、別プログラムで稜線と全物体面の組合せについて不可視数等の隠蔽関係を調べる方法があったが、图形数  $N$  に対して処理時間が  $O(N^2)$  となり、大規模データではパケット法など画面分割が必要であった。また計算誤差で可視判定が混乱して不正な表示をしたり、图形のトポロジーが矛盾して不安定化する問題もあった。今回スクリーン图形の内部表現として、スクリーン表示形式とは独立のスクリーン・バッファをスペースモデルのデータ構造で構成し、可視データだけを面と辺の形で保持する隠面・隠線消去両用方式を考えし、問題点を解決した。試作結果、従来の専用ハード化したピクセル対応 Z-バッファよりは遅いが、道しるべ法により画面分割なしで  $O(N)$  の速度が確認できた。不正表示については、本方式では入力面が重なり部分ごとの小区画に分割されることを利用して、誤りを実用範囲まで削減できた。またトポロジーの矛盾については、ポインターでトポロジーを表現し管理する方式で解決した。その他、本方式はピクセルやスキャランラインと独立のため解像度の問題がない、データ構造が图形集合演算等、各種の图形処理に適した汎用性を持つ等の特徴も備えている。

## Space-Z-Buffer: A Fast and Robust Hidden Line/surface Removal by Using Two Dimensional “Space Model”

AKIRA OHSAWA<sup>†</sup>

A new method for both hidden line and surface removal is developed. Because conventional Z-buffer holds only pixel data, it is inapplicable for a pen-plotter, picking a figure up by mouse, and such. So far, for pen-plotter, the other method examining quantitative invisibility is used. It's deficiency, however, is too large processing time as  $O(N^2)$  unless dividing the screen. In the new method, where only visible surfaces and edges are held in the “Space Z-Buffer,”  $O(N)$  processing time is realized without dividing the screen. Conventional hidden line removal systems are unstable if the topology of the figures is inconsistent caused by calculation errors. In this method, the system is stabilized by controlling the consistency using pointer representation of the topology. Another problem brought by calculation errors in depth comparison is erroneous display of invisible parts. This can be eased by dividing the figures into regions each of them overlaps with a different surface and by comparing the depth at the central portion of the each region.

### 1. はじめに

立体图形の隠面消去表示は、ピクセル対応のメモリに視点から最も近い面の情報を保持し、これを1面入力ごとに更新するZ-バッファ法が主流となりつつある。この方法はアルゴリズムが簡単でハードウェア化による高速化にも適するが、ピクセル単位の処理のため、面や辺を扱う処理には適しない。たとえばペン

プロッタの線画出力、マウスによる面のピック、表示图形の集合演算等には別プログラムが必要であった。一方、隠線消去には、古くAppel<sup>8)</sup>以来、すべての稜線と物体面の組合せにつき隠蔽関係を調べて不可視部を消去する方法<sup>4)</sup>が多く用いられてきた。しかし面数  $N$  に対し処理時間が  $O(N^2)$  と遅く、大規模データではパケット法など画面分割による高速化が必要であった<sup>7)</sup>。

本スペース Z-バッファ（以下、SPZB）法では、スクリーン图形の内部表現として、スクリーン表示形式とは独立のスクリーン・バッファを二次元スペースモ

<sup>†</sup> 中部大学工学部工業物理学科

Department of Engineering Physics, Chubu University

デル（以下、SPM）のデータ構造（文献1）の改良）で構成し、可視データを面と辺の形で保持して1面入力ごとに逐次更新する方式で上記問題点を解決した。処理時間はハードウェア化した従来のZ-バッファには及ばないが、画面分割なしで $O(N)$ を実現できた。

また図形処理アルゴリズムは、杉原ら<sup>5),6)</sup>が図形集合演算の例で指摘しているように、計算誤差で図形のトポロジーが矛盾すると暴走する。実際、従来の隠線消去法は、計算誤差で不可視数の算定を誤ると暴走することがある。この問題は、本研究ではSPMのデータ構造がトポロジーを表現することを利用し、どんな場合にも矛盾したトポロジーを作らない方式<sup>3)</sup>で解決した。また奥行き判定の計算誤差による不正表示も実用範囲で回避できた。

なお、本論文の内容は紙面の都合で隠面・隠線消去に限定した。このデータ構造による集合演算その他の図形処理機能については文献1), 2)を参照されたい。

以下、2章でSPMの原理を、3章でSPZBによる隠面・隠線消去手法の説明と性能を、4章で計算誤差に起因する問題点、対策および実験結果を示す。

## 2. SPMの原理

### 2.1 SPM (SPZB) のデータ構造

隠面・隠線消去用スクリーン・バッファとしてSPMデータ構造を持つSPZBを採用した。SPMの原理は文献1)と同じであるが、今回は空間分割の方法を一部改良してプログラムを簡素化した（付録参照）。

SPMでは頂点間（以下、交点も頂点の一種とする）で相互に指しあうポインタEP（Edge Pointer）の組EPP（EP Pair）で辺を表現する（図1）。次に各頂点を通り上下隣の辺まで伸びる鉛直仮想境界線 $B_x$ を想定し、図形内外の全空間を $B_x$ と辺とで小空間に分割する。各小空間には左右端の頂点間（X軸+一無限遠にも頂点あり）で相互に指しあうポインタSP（Space Pointer）の組SPP（SP Pair：図1細矢印）を設置する。具体的にはSPMは各頂点に設置した図2の頂点テーブルの集合である。頂点テーブルには頂点周りの辺と空間の反時計回り順にEPとSPを並べる。EPPとSPPには両端頂点の座標値の辞書順を表すX方向フラグ（同図+印）を付加する。辞書順ではYにかかわらずXの大きい方を+（右）側、Xが等しいときはYが大きい方を+側とする。X, Yともに等しい頂点や、他の辺に重なる頂点、3辺以上の同一点での交差は、座標値は同じでもトポロジカルには重ならず、相互に（任意の固定方向に）ずれているとする。これで鉛直辺はわずかに右傾した斜辺とされ、X値の等しい

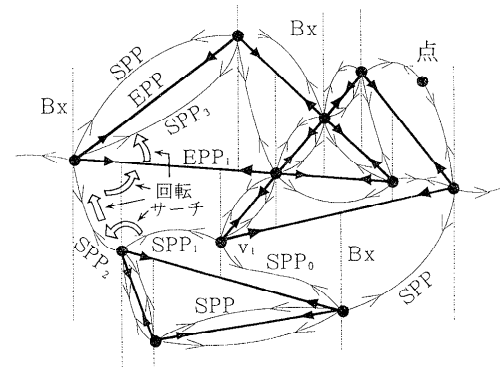
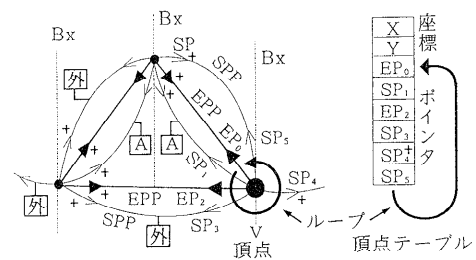


図1 SPMのデータ構造と回転サーチ

Fig. 1 The data structure of SPM, and a rotary search on it.



SPPの属性でAの面番号[A]や外部[外]を表現

図2 頂点テーブルによるSPMデータ構造の実現

Fig. 2 Realization of SPM structure by vertex tables.

2頂点のそれぞれを通る $B_x$ は重ならず、間に無限小幅の空間ができる。以上ですべての小空間の左右端にはSPPの接続する頂点が必ず1個だけ存在し、SPPは小空間を1対1で表現するといえる。物体面はSPPに属性として付加した面番号で識別できる。面の外部では、後ろに重なる他の面がなければ、バックグラウンドとして面番号をゼロとする。穴は面の外部である。SPMは折れ線や点も表現できる。図1の右上には頂点の一種としての点を示す。

SPMはEPPとSPPをブランチ、頂点をノードとする有向グラフで、図形要素（頂点、辺、小空間）の並び順（トポロジー）を表現しているともいえる。

### 2.2 図形要素の高速検索と道しるべの利用

SPMでは隣接図形要素の高速検索が可能になる。たとえば図1でSPP<sub>1</sub>を与えるれば、右隣のSPP<sub>0</sub>は頂点V<sub>1</sub>から発するプラスX方向のSPPとして検索できる。また+Y側のSPP<sub>3</sub>は、白抜き矢印の順にSPPをたどる回転サーチと呼ぶ手法で辺EPP<sub>1</sub>を求め、さらに上に黒矢印の回転サーチで求められる。

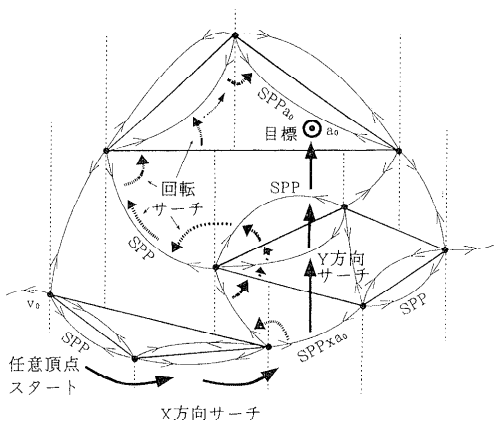


図3 目標点  $a_0$  を含む空間  $SPP_{a_0}$  の探索  
Fig. 3 Retrieval of the space  $SPP_{a_0}$  that include target  $a_0$ .

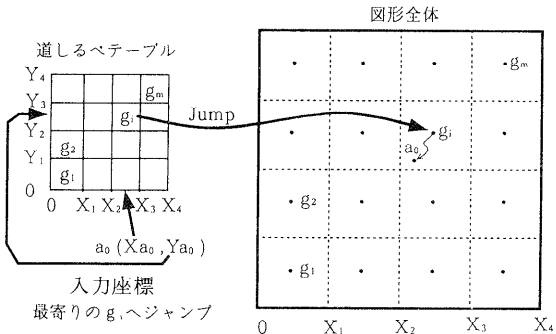


図4 全体を  $m = N/k$  個に区分、最寄りの道しるべ  $g_i$  へジャンプ

Fig. 4 Jump to the nearest guide post  $g_i$  dividing the entire space into  $m = N/k$ .

この応用で、マウスによる面のピックでは、座標値で示された点  $a_0(x_{a_0}, y_{a_0})$  を含む空間の  $SPP_{a_0}$  を検索し、属性の図形番号から面を特定する。検索は図3の任意頂点  $V_0$  から出発し、まずX方向へ、両端のX座標が  $x_{a_0}$  を挟む  $SPP_{x_{a_0}}$  までSPPをたどって進み(太矢印:最適道筋でなくともやむをえない)、次にY側で  $x_{a_0}$  を含む小空間を回転サーチでたどりY方向に進む。 $SPP_{a_0}$ への到着は、 $a_0$ の座標値が到着小空間の上下の辺の間にあることで判定する。検索の道筋はX、Yともに一方向的で戻りがないため効率が良い。

次章の多角形  $N$  個の入力では、各最初の頂点  $a_0$  の位置する空間  $SPP_{a_0}$  の検索をさらに高速化するため、事前に  $N$  に比例する  $m = N/k$  個( $k$ は定数)の道しるべ  $g_i$  ( $i = 1, 2, \dots, m$ )を設置する(図4:波線は概念的区分を示すだけで実在しない)。各入力多角

形ごとに、その最初の頂点  $a_0$  の座標値から同図の道しるべテーブルで最寄りの  $g_i$  へジャンプして、これを上記  $SPP_{a_0}$  検索の出発点  $V_0$  とすれば、図示のように  $V_0$  から  $a_0$  までの検索距離をつねに一定以下として処理時間を  $O(1)$  にできる(多角形の均一分布を仮定)。この方法の長所は、画面分割と異なり複数パケットにまたがる図形の重複管理の問題がないことである。

### 3. SPZBによる隠面・隠線消去処理の手順

SPZB に多角形面  $N$  個を逐次入力しながら奥行き(視点からの距離)を比較し、既設面の不可視部の新入力面への置換を繰り返して隠面・隠線消去を実現する。以下、1面あたりの頂点・交点数、重なり数の平均値が定数  $k$  より小さく、かつ図形がほぼ均一に分布するとし、処理手順と計算時間のオーダーを示す。

I. 面の法線方向を調べ全裏向き面を削除:  $O(N)$

II.  $m = N/k$  個の道しるべ  $g_i$  を設定:  $O(N)$

II 1. 入力面数  $N$  を数える:  $O(N)$

II 2. 図4の道しるべ  $g_i$  を入力する:  $O(N)$

III. 以下  $O(1)$  の処理を  $N$  回繰り返す:  $O(N)$

III 1. 1個の入力面 A の外形を入力:  $O(1)$

① 面 A の最初の頂点  $a_0(x_{a_0}, y_{a_0})$  を含む  $SPP_{a_0}$  を検索。検索法は図4、図3:  $O(1)$

②  $SPP_{a_0}$  を切断し、短い辺  $a_{0t}$  (EPP) を挿入(ポインタ付け替え)図5(a):  $O(1)$

③ A の外形沿いに第  $i$  頂点から入力辺  $a_{it}$  ( $i = 0, 1, 2, \dots$ )を伸張し空間分割の変化点(イベント  $E_j$  ( $j = 1, 2, \dots$ ))でEPP、SPPを更新する(図5(b))。 $E_j$  は  $a_{it}$  が前方の小空間  $SPP_t$  の前方を向いての左右側辺または  $B_x$  と交差する点、または A の次の頂点  $a_{i+1}$  のうち最も近い点である(4.2節の表1)。 $E_j$  以外では小空間の形が変化してもトポロジーは不变なので更新不要。 $E_j$ だけの間欠処理となる。辺伸張が A の外形を一巡したら辺を閉じ、外形辺入力を終了する。A 近傍の局所処理なので:  $O(1)$

III 2. A と重なる面の不可視部を A と置換:  $O(1)$

① 重なり検索が A 外に行かぬよう、A の外形に乗り越え禁止フラグを付加し、A の内側へEPP、SPPをたどり、EPPで囲まれた小区画(図5(c)の  $pa_1q$ ,  $b_0b_1b_2$ ,  $rsa_2$ )を重なりとして検出する。小区画ごとにSPPに付加した面番号から既設面の方程式の係数を調べて A と奥行き比較し、A が可視の場合に

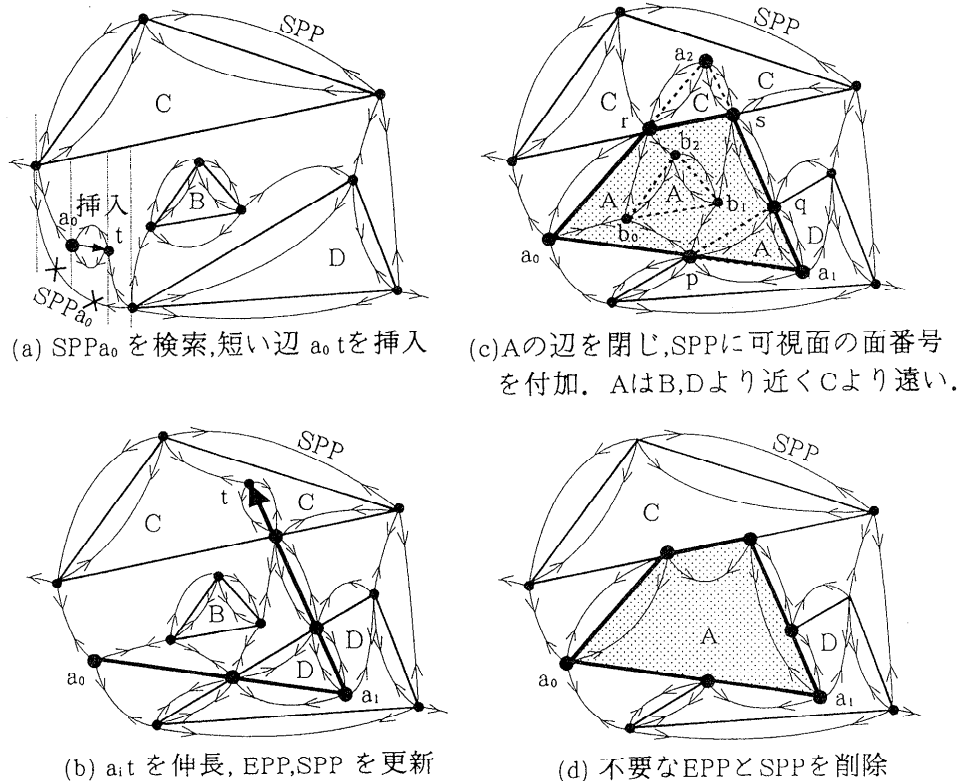


図5 面Aの入力と隠線処理手順  
Fig. 5 Hidden line processes for an input face A.

は同図の  $pa_1q$ ,  $b_0b_1b_2$  のように、面番号を A に変更する。重なり数  $< k$  により :  $O(1)$   
② 隣り合う小区画が同一面となった境界辺の EPP (図 5(c) 波線部) および不要な SPP を削除して同図 5(d) となる :  $O(1)$

◆以上の結果、SPZB には可視面だけが残る。

#### IV. 道しるべき $g_i$ を削除 : $O(N)$

#### V. 最後に面を表示すれば隠面消去であり、辺を表示すれば隠線消去表示になる : $O(N)$

以上の処理時間はすべて  $O(N)$  以下ため全体も  $O(N)$  となる。図 6(b) は (a) のデータの実測値で、 $N$  の小さい辺りでは不可視図形の削除が少なく傾斜がゆるいが、傾斜一定の直線に漸近し、 $O(N)$  を示している。

一方、メモリ容量は 1 頂点平均約 60 バイトで、不可視データの削除により  $O(N^{0.4})$  となった。

### 4. 計算誤差による誤動作と暴走の対策

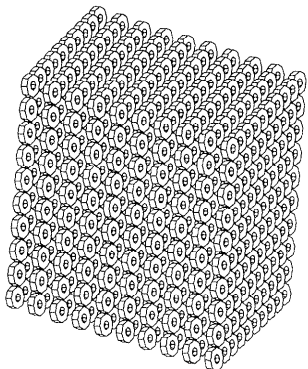
#### 4.1 奥行き比較の誤差による不可視面の誤表示防止

図形集合演算（本論文の範囲外）で分割しておく。

さて SPZB では既設面と新入力面の辺はともに EPP で表現され、図 5(c) のように全体が EPP で囲まれた小区画に分割されている。入力に貫通面がなければ奥行き比較は小区画ごとに、どこか 1 点ですればよい。しかし三次元集合演算で貫通の検出ができる計算誤差の深さの貫通面で誤らないよう、次の対策をする。

（対策 1） 小区画が表示上無視できない大きさの場合、面は平面でかつ貫通がないから、既設面と新入力面が三次元空間で平行でなければ、小区画の縁（へり）で奥行き差が最小になる。このため縁でなく中心付近で奥行き判定して誤りを減らす。今回は簡単のため小区画の外形頂点の平均位置で判定した。両面がほぼ平行で、中心付近での奥行き差が誤差範囲の場合には誤りは不可避であるが、そんなケースはまれである。

（対策 2） 小面積のため不可視としてもよい場合、隣接面を検索し、これに隠された不可視面の形にして削除する。稜を挟む両側の面が、計算誤差でわずかに重なったり隙間が空いて投影された部分がこれに当たる。



(a) 隠線消去：表向きポリゴン10k個、表裏全ポリゴン25k個

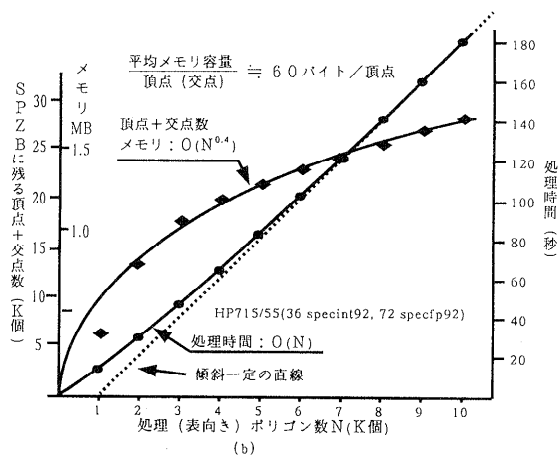


図 6 陰線消去データ例 (a), 処理時間とメモリ容量 (b)  
Fig. 6 An example of hidden line removal (a), processing time and memory consumption (b).

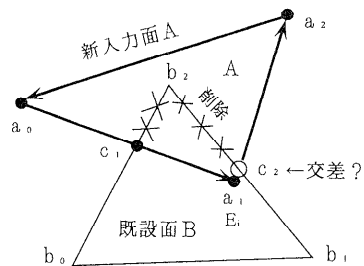
なお誤差の範囲で視線に平行な面は表示の必要もないから、事前に裏向き面と一緒に削除しておく。

#### 4.2 計算誤差によるトポロジー矛盾と暴走対策

##### 4.2.1 外形辺入力時のトポロジー矛盾防止

図 7 で面 B が入力面 A より遠方なら辺  $c_1 b_2 c_2$  を削除する。しかし計算誤差で辺  $a_0 a_1$  と  $a_1 a_2$  がともに  $b_1 b_2$  と交差したり、両者とも交差しないとトポロジーが矛盾して削除プログラムが暴走する。これに対し SPM では「 $a_i t$  の先端  $t$  の小空間境界通過 ( $c_2$  等) の計算誤差による見逃しや二重通過を防止」して対策する。この原理は文献 3) と同じであるが、今回は空間分割法を単純化し（付録参照）プログラムを簡素化した。

表 1 はこの原理の具体化で、 $a_i t$  を伸張中、次のイベント  $E_j$  の候補を引数とし、X, Y の辞書順で最も手前の候補を正しい  $E_j$  として選ぶ関数  $\text{nearest}()$  の引数を、 $t$  の前方の  $SPP_t$  で表す小空間の形状別に示す。



削除の終点  $c_2$  が存在しない？

図 7 計算誤差による矛盾と暴走  
Fig. 7 A failure caused by calculation errors.

プログラムは  $SPP_t$  の接続先で表 1 の横軸を、 $a_i t$  の左右の辺との交点  $C_L, C_R$  の有無から縦軸を求めて、 $\text{nearest}()$  の引数を定める。なお引数  $C_B$  は  $B_x$  を形成する頂点を、 $a_{i+1}$  は A の次の頂点を、 $\infty$  は  $E_j$  になりえない引数を示す。たとえば表 1 の⑤では  $C_R$  は存在せず、辺の端点  $C_B$  や  $a_{i+1}$  は交点  $C_L$  より辞書順で必ず遠方なので  $\infty$  にして、これらが計算誤差で  $E_j$  になることを防ぐ。実際図 7 で  $a_0 a_1$  が交差しなければ、 $b_1 b_2$  に関して  $a_2$  が  $a_1$  の反対側のため、 $a_1 a_2$  上に  $C_L$  が存在するとして表 1 の⑤が選ばれ、 $E_j$  は必ず  $C_L$  (図 7 では  $c_2$ ) で、検出ミスは起きない。なお  $C_L$  の座標値が計算誤差で  $a_1 a_2$  や  $b_1 b_2$  の端点より外側になる場合は、内側の端点の位置に修正して图形歪みを減らす。次に  $c_2$  が  $a_0 a_1$  上にあれば、 $c_2$  設置の後は  $a_i t$  は  $b_1 b_2$  の左側になり、 $a_2$  が同じ左側なら決して再交差しない。なお X 方向フラグは  $a_i a_{i+1}$  の間では、誤差を含む  $C_L$  の座標値によらず  $a_i$  と  $a_{i+1}$  の辞書順方向に固定する。そうした X 方向フラグを使えば、注目点の移動で EPP, SPP をたどる間に交点座標値の誤差で方向を誤ることがない。

特に同表⑩は左右共に交差の検出がない場合で、もし  $a_{i+1}$  が交点  $p$  より遠ければ  $p$  と同じ座標の交点  $C_L$  を強制設置し、交点なしの境界突き抜けを防止する。

その他、多角形の隣りの辺 ( $a_{i-1} a_i$  と  $a_i a_{i+1}$ ) や一度交差した辺 (直線) は再交差しないことも制約としてプログラムに組み込む。なお表 1 は  $a_i t$  の向き (X 軸方向 +) によらず使用できるため、文献 3) より場合分けの数が減り、プログラムが簡素化する。

##### 4.2.2 計算誤差によるその他の問題点

入力多角形を閉じるとき、終点位置判定アルゴリズムが始点と異なるため計算誤差が異なり、終点が始点と同じ小空間に達しないと閉じられず暴走する。また削除は外形辺を切断して長さゼロにまで短縮する方法

表1 正しい次のイベント  $E_j$  を求める  $\text{nearest}(C_L, C_R, C_B, a_{i+1})$  の引数決定表  
Table 1 Deciding the arguments of  $\text{nearest}(C_L, C_R, C_B, a_{i+1})$  to get the next correct event  $E_j$ .

| 入力辺 $a_i$ 前方の入力空間を表現する $SPPt$ の先端 $t$ の接続先による分類 |  |
|---|--|
| 入力と左右辺との交差 $C_L, C_R$                           | $SPPt$ が左側辺の先端 $p$ に接続   |
| 左側辺との交差 $C_L$ , 右側辺との交差 $C_R$ が共に検出された          | <p>① <math>E_j = \text{nearest}(C_L, \infty, \infty, \infty);</math></p>     |
| 左側交差 $C_L$ を検出<br>右側は交差なし                       | <p>② <math>E_j = \text{nearest}(\infty, C_R, \infty, \infty);</math></p>     |
| 左側は交差なし<br>右側交差 $C_R$ を検出                       | <p>③ <math>E_j = \text{nearest}(C_L, C_R, \infty, \infty);</math></p>        |
| 左右辺共に交差せず                                       | <p>④ <math>E_j = \text{nearest}(\infty, \infty, C_B, a_{i+1});</math></p>    |
| 入力と左右辺との交差 $C_L, C_R$                           | $SPPt$ が右側辺の先端 $p$ に接続   |
| 左側辺との交差 $C_L$ , 右側辺との交差 $C_R$ が共に検出された          | <p>⑤ <math>E_j = \text{nearest}(C_L, \infty, \infty, \infty);</math></p>     |
| 左側交差 $C_L$ を検出<br>右側は交差なし                       | <p>⑥ <math>E_j = \text{nearest}(\infty, C_R, \infty, \infty);</math></p>     |
| 左側は交差なし<br>右側交差 $C_R$ を検出                       | <p>⑦ <math>E_j = \text{nearest}(C_L, \infty, \infty, \infty);</math></p>     |
| 左右辺共に交差せず                                       | <p>⑧ <math>E_j = \text{nearest}(C_L, \infty, C_B, a_{i+1});</math></p>       |
| 入力と左右辺との交差 $C_L, C_R$                           | $SPPt$ が左右両辺の交点 $p$ に接続  |
| 左側辺との交差 $C_L$ , 右側辺との交差 $C_R$ が共に検出された          | <p>⑨ <math>E_j = \text{nearest}(\infty, C_R, C_B, \infty);</math></p>        |
| 左側交差 $C_L$ を検出<br>右側は交差なし                       | <p>⑩ <math>E_j = \text{nearest}(\infty, C_R, \infty, \infty);</math></p>     |
| 左側は交差なし<br>右側交差 $C_R$ を検出                       | <p>⑪ <math>E_j = \text{nearest}(\infty, C_R, \infty, \infty);</math></p>     |
| 左右辺共に交差せず                                       | <p>⑫ <math>E_j = \text{nearest}(\infty, \infty, C_B, a_{i+1});</math></p>    |
| 入力と左右辺との交差 $C_L, C_R$                           | $SPPt$ が左側辺の交点 $p$ に接続   |
| 左側辺との交差 $C_L$ , 右側辺との交差 $C_R$ が共に検出された          | <p>⑬ <math>E_j = \text{nearest}(\infty, \infty, C_B, a_{i+1});</math></p>    |
| 左側交差 $C_L$ を検出<br>右側は交差なし                       | <p>⑭ <math>E_j = \text{nearest}(\infty, C_R, \infty, \infty);</math></p>     |
| 左側は交差なし<br>右側交差 $C_R$ を検出                       | <p>⑮ <math>E_j = \text{nearest}(C_L, \infty, \infty, a_{i+1});</math></p>    |
| 左右辺共に交差せず                                       | <p>⑯ <math>E_j = \text{nearest}(\infty, \infty, \infty, a_{i+1});</math></p> |

注(全体に) :  $\infty$  は  $E_j$  になり得ない引数,  $\bullet$  印は上図の場合  $\text{nearest}()$ から返る正しい次のイベント  $E_j$ .

注1: 左右辺の先が閉じて, 入力  $a_i$  が左右辺共に交差せずに点より先に延びるのはトボロジーの矛盾: 対策として片側辺との交点  $C_L$  を強制設置.

で行うが、短縮辺の端点が左右空間の境界を通る順序の判定を計算誤差で誤ると、EPP、SPP の更新結果が矛盾して暴走する。対策は両者とも文献 3)と同じなので説明を略すが、計算誤差があっても矛盾したトボロジーを作り出さぬようすれば暴走は防止できる。

#### 4.3 誤動作防止のテスト

図 8 の图形を少しづつ三次元的に回転させて  $10^6$  回表示し (CRT 上では滑らかな回転に見える), 正常動作を確認した。図 9 は暴走防止テストで、隠面消去 (a) と同じデータの交点に乱数誤差を加えて  $10^4$  回隠線消去表示した (b)。誤差が大きいので图形歪や不可視面の誤表示は有るが暴走しないことを確認した。

#### 5. おわりに

スクリーンをスペースモデルで表現する隠面・隠線消去共用の方式を開発した。本方式は処理時間  $O(N)$ , メモリ  $O(N^{0.4})$  (実験値), 計算誤差による不可視图形の表示や暴走がない, 図形ピックの他图形演算が可能等の特徴がある。処理速度の絶対値の従来方式との

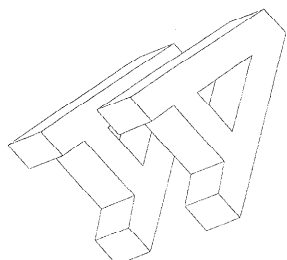
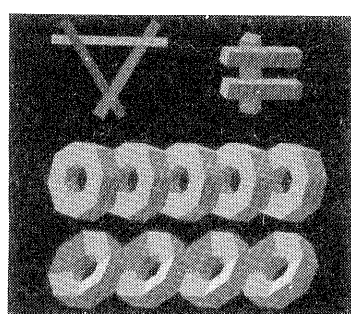
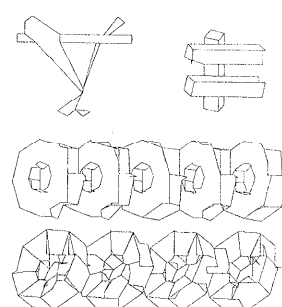


図 8 三次元回転图形の隠線消去

Fig. 8 Hidden line removal with three dimensional rotation.



(a)



(b)

図 9 隠面消去 (a) と乱数誤差印加隠線消去 (b)

Fig. 9 Hidden surface removal (a), hidden line removal with random errors (b).

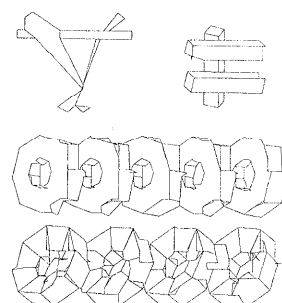
比較は今後の課題と考えている。問題点はポインタの多用でプログラムが少し複雑なことであるが、簡単なデバッグルーチンの組込みで対処できた。なお、試作プログラムは C 言語で約 5 k 行になった。

#### 参考文献

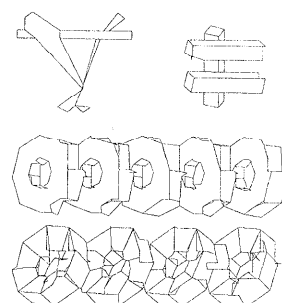
- 1) 大沢 晃: 二次元スペース・モデリングの考察, 情報処理学会論文誌, Vol.27, No.12, pp.1174-1185 (1986).
- 2) 大沢, 川崎, 岩本: スペースモデルによる二次元图形処理システムの試作: 注目, 局所集合演算, 運動图形の衝突検出, 情報処理学会論文誌, Vol.29, No.10, pp.933-943 (1988).
- 3) 大沢 晃: 計算誤差による暴走のない图形演算アルゴリズム: スペースモデルによる実現, 情報処理学会論文誌, Vol.31, No.1, pp.42-55 (1990).
- 4) 今宮淳美: 隠面除去アルゴリズム, 情報処理, Vol.24, No.4, pp.539-546 (1983).
- 5) 伊理正夫, 杉原厚吉: 計算誤差を考慮した幾何的アルゴリズム, 情報処理学会アルゴリズム研究会資料, アルゴリズム 1-1 (1988.5.23).
- 6) 杉原厚吉, 伊理正夫: 計算誤差による暴走の心配のないソリッドモデルの提案, 情報処理学会論文誌, Vol.28, No.9, pp.962-974 (1987).
- 7) 本田ほか: 配管レイアウトシステムの開発, 日本機械学会論文集 (C 編), Vol.52, No.474, pp.607-615 (1986).
- 8) Appel, A.: The Notion of Quantitative Invisibility and the Machine Rendering of Solids, Proc. ACM Nat. Conf., p.387, Thompson Books (1967).

#### 付 錄

図 10 (a) は今回の空間分割法で、文献 1) の方法 (b) より SPP の数が増加するが、頂点の凹凸によらず分割ルールが単純でプログラムが単純化できる。



(a)



(b)

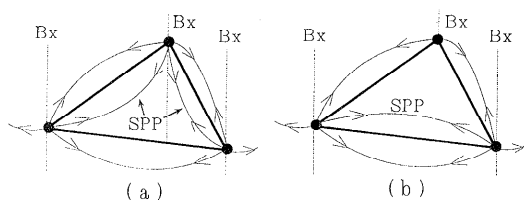


図 10 今回の空間分割方式(a)と文献1の方式(b)  
Fig. 10 Space division method in this paper (a), and that  
in Ref. 1.



大沢 晃(正会員)

1936年生。1961年名古屋大学大学院工学研究科修士課程応用物理専攻修了。同年(株)日立製作所入社、制御用計算機回路、半導体用CAD等開発。1992年中部大学工学部工業物理学科教授。現在に至る。スペースモデルによる図形処理の研究を行う。工学博士。情報処理学会、電子情報通信学会会員。

(平成8年2月9日受付)

(平成9年2月5日採録)